



## Structure from Motion



Alberto Borghese  
Laboratory of Motion Analysis, Virtual Reality (MAVR)



## Ricostruzione 3D da immagini monoculari



- Structure from Motion.
- Esempi semplici.
- Campo di moto generato da sequenze di moto traslazionale.
- Structure from Motion da campo di moto.
- Epipoli e punti di fuga.
- Proprietà.
- Cenni sul campo di moto originato da rototraslazione.



## Structure from Motion



- Calcolo dell'optical flow o estrazione delle features.
- Calcolo del campo di moto o determinazione delle corrispondenze.
- Ricostruzione 3D.
- Segmentazione (movimenti diversi).
- Analisi: Riconoscimento, classificazione (high level processing).

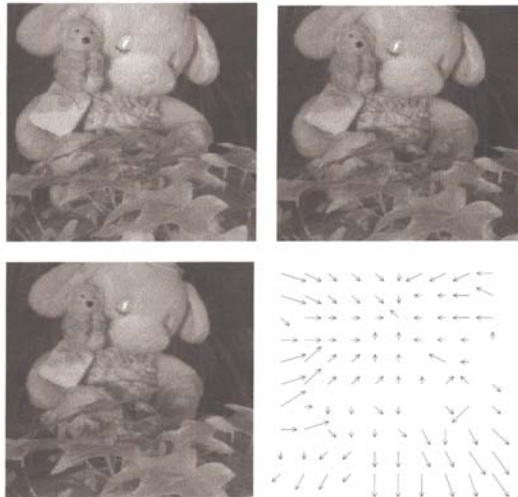


Figure 8.3 Three frames from a long image sequence (left to right and top to bottom) and the optical flow computed from the sequence, showing that the plant in the foreground is moving towards the camera, and the soft toys away from it.



## Ricostruzione 3D da immagini monoculari



- Viene ripresa una sequenza temporale di immagini della scena.
- Obiettivo: ricostruzione del movimento relativo della camera rispetto alla scena e ricostruzione 3D della scena.
- Analogia con la stereoscopia:
  - Problema della corrispondenza.
  - Problema della ricostruzione.
- Differenze con la stereoscopia:
  - Spostamenti piccoli (stima del moto efficiente per calcolo corrispondenze).
  - Problema mal-posto:
    - Errori nella ricostruzione (base-line piccola).
    - Movimenti diversi per oggetti diversi.



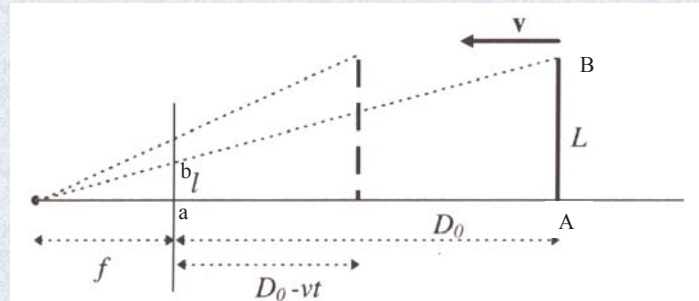
## Random dots



- Il nostro sistema visivo è in grado di operare la ricostruzione 3D anche senza informazione semantica a-priori.
- Variazione di luminosità congruenti con campo di moto solo per il quadrato.



## Time-to-contact

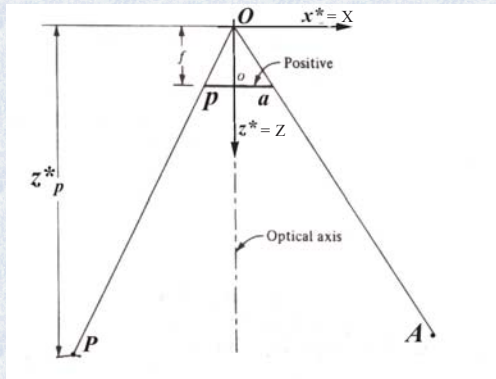


- L distanza tra due features (due spot luminosi sulla superficie dell'oceano), non nota.
- V velocità di discesa, non nota.
- f distanza focale, distanza tra centro del cristallino e retina, nota.
- l immagine del segmento che unisce A e B sulla retina, quantità misurata.





## Movimento 3D -> Movimento 2D



$$\mathbf{p} = f \frac{\mathbf{P}}{Z} = \left[ f \frac{X}{Z}; f \frac{Y}{Z}; f \frac{Z}{Z} \right]$$

$$\dot{\mathbf{p}} = f \frac{\dot{\mathbf{P}}}{Z} - f \frac{\mathbf{P}\dot{Z}}{Z^2}$$

$$\mathbf{v}_p = f \left( \frac{\mathbf{V}_P}{Z} - \frac{\mathbf{P}V_Z}{Z^2} \right) =$$

$$\left[ f \frac{V_X}{Z} - \frac{XV_Z}{Z^2}; f \frac{V_Y}{Z} - \frac{YV_Z}{Z^2}; f \frac{V_Z}{Z} - \frac{ZV_Z}{Z^2} \right]$$

Dipende da:

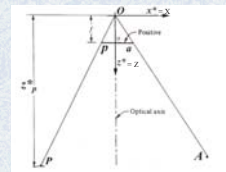
- Velocità dell'oggetto,
- Distanza dell'oggetto,
- Velocità di avvicinamento.



## Moto traslatorio lungo l'asse ottico ( $V_x=V_y=0$ )



$$\mathbf{v}_p = f \left( \frac{\mathbf{V}_P}{Z} - \frac{\mathbf{P}V_Z}{Z^2} \right)$$



Sviluppando:

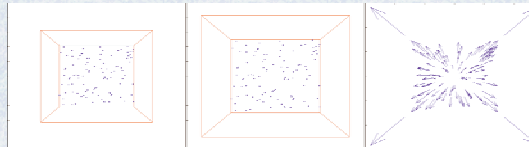
$$\bullet \quad v_x = \frac{V_X f - (fX/Z)V_Z}{Z} = \frac{V_X f - xV_Z}{Z}$$

$$\bullet \quad v_y = \frac{V_Y f - (fY/Z)V_Z}{Z} = \frac{V_Y f - yV_Z}{Z} \quad (v_z = 0)$$

Traslazione in direzione parallela all'asse Z ( $V_x = V_y = 0$ ;  $V_z \neq 0$ ):

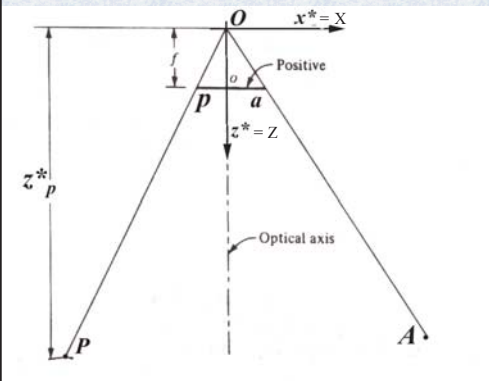
$$v_x = \frac{-xV_Z}{Z} \quad v_y = \frac{-yV_Z}{Z}$$

$\mathbf{p}_c$ : fuoco di espansione.





## Structure from Motion: moto // asse

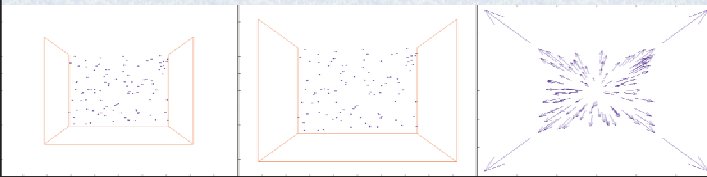


$$v_x = \frac{-xV_Z}{Z}$$

$$v_y = \frac{-yV_Z}{Z}$$

Quali sono le incognite?

$V_Z$ , moto (traslatorio);  
(X,Y,Z), struttura.



## Calcoliamo Structure from Motion

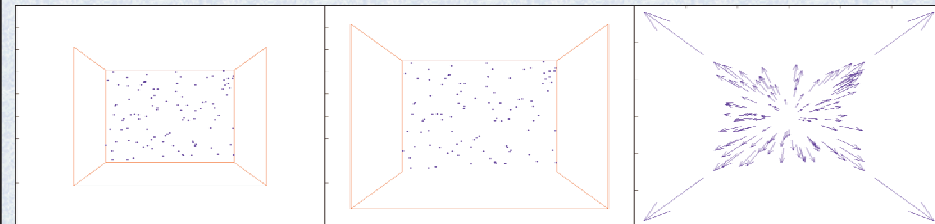


Invertiamo le equazioni del flusso ottico.

$$v_x = \frac{-xV_Z}{Z} \Rightarrow \frac{V_Z}{Z} = -\frac{v_x}{x}$$

$$v_y = \frac{-yV_Z}{Z} \Rightarrow \frac{V_Z}{Z} = -\frac{v_y}{y}$$

- Time-to-impact
- Non posso stimare la velocità e la distanza.





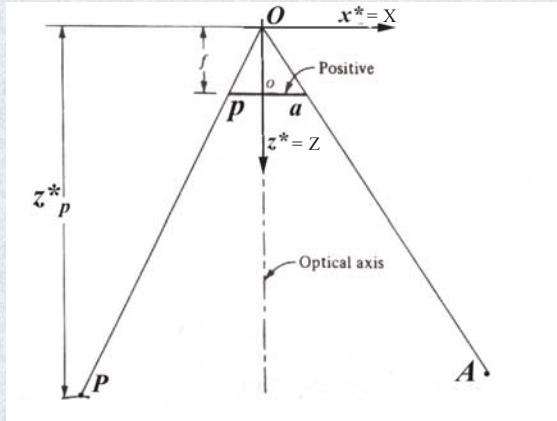
## Determiniamo Z e Vz



$$\frac{V_Z}{Z} = -\frac{v_x}{x}$$

$$\frac{V_Z}{Z} = -\frac{v_y}{y}$$

E' una corrispondenza biunivoca? No



Il mondo visto da due punti può essere scalato. E' "gonfiabile".

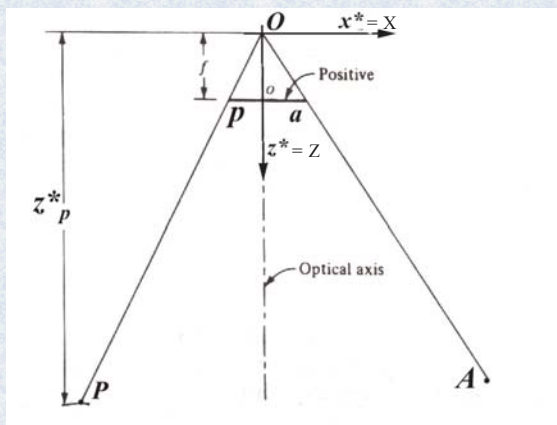


## 1) Determiniamo Z e Vz: punto P.



$$\frac{V_Z}{Z} = -\frac{v_x}{x}$$

$$\frac{V_Z}{Z} = -\frac{v_y}{y}$$



Fissiamo  $Z_{\text{ref}}$  o  $V_Z(\mathbf{P})$ :

Posso calcolare  $V_Z$ .

Posso calcolare Z di ogni punto P:

$$Z = -\frac{V_Z}{v_x} x$$

$$V_Z(\mathbf{P}) = -\sum_K \frac{v_{x_K} Z_K}{x_K}$$



## 2) Determiniamo Z e Vz: distanza d



$$\frac{V_Z}{Z} = -\frac{v_x}{x} \quad \frac{V_Z}{Z} = -\frac{v_y}{y}$$

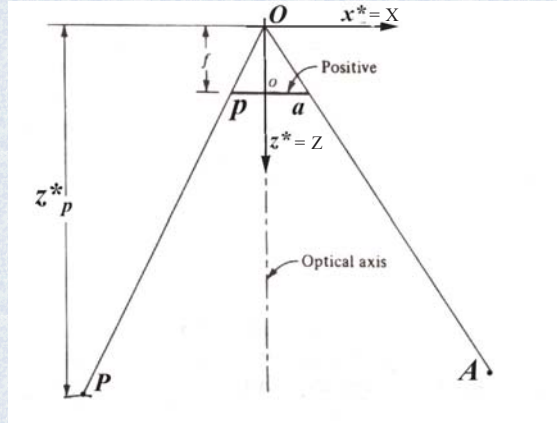
Fissiamo  $d_{ref} = Z_2 - Z_1$

$$\frac{V_Z}{Z_1} = a \quad \frac{V_Z}{Z_2} = b$$

$$a \frac{Z_1}{Z_1 + d_{ref}} = b$$

$$Z_1 = \frac{bd_{ref}}{a - b}$$

$$Z_1 = \frac{\frac{V_Z}{Z_2} d_{ref}}{\frac{V_Z}{Z_1} \frac{(Z_2 - Z_1)}{Z_1 Z_2}} = \frac{Z_1^{measured} d_{ref}}{d_{measured}}$$



## Stima robusta



$$V_Z = -\sum_K \frac{v_{x_K} Z_K}{x_K} \quad V_Z \{ \text{mean}(V_Z(\mathbf{P})); \sigma(V_Z(\mathbf{P})) \}$$

- Ordino i campioni  $V_Z(\mathbf{P})$  a seconda del valore di  $|V_Z(\mathbf{P}) - \text{mean}(V_Z(\mathbf{P}))|$

- Elimino i campioni che sono “troppo lontani” dal valore atteso, cioè  $V_Z(\mathbf{P}) : |V_Z(\mathbf{P}) - \text{mean}(V_Z(\mathbf{P}))| > \sigma_{ref}$ .

- Ripeto la stima:

$$V_Z = -\sum_j \frac{v_{x_j} Z_j}{x_j} \quad \sigma(V_Z(X_j, Y_j, Z_j)) < \sigma_{ref}$$





## Completamento calcolo struttura



•Dal campo di moto:

$$\frac{V_Z}{Z} = -\frac{v_x}{x} \Rightarrow v_x = \frac{-xV_Z}{Z} = f \frac{-X}{Z} \frac{V_Z}{Z} \quad X = \frac{-v_x}{f} \frac{Z^2}{V_Z}$$

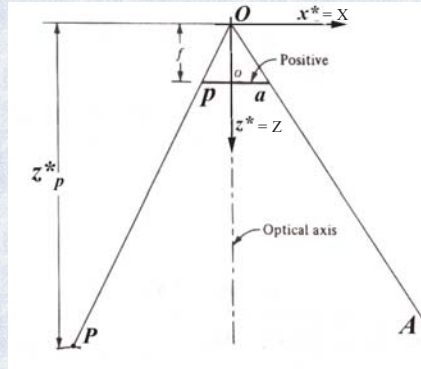
$$\frac{V_Z}{Z} = -\frac{v_y}{y} \Rightarrow v_y = \frac{-yV_Z}{Z} = f \frac{-Y}{Z} \frac{V_Z}{Z} \quad Y = \frac{-v_y}{f} \frac{Z^2}{V_Z}$$

•Dalla geometria:

$$\mathbf{p} = f \frac{\mathbf{P}}{Z} = \left[ f \frac{X}{Z}; f \frac{Y}{Z}; f \frac{Z}{Z} \right]$$

$$X = \frac{x}{f} Z$$

$$Y = \frac{y}{f} Z$$



## Valutazione dell'accuratezza



$$Z = -\frac{V_Z}{v_x} x$$

differenziale:  $dZ = \frac{dZ}{dv_x} dv_x = \frac{V_Z}{v_x^2} dv_x$

Ricordando che:

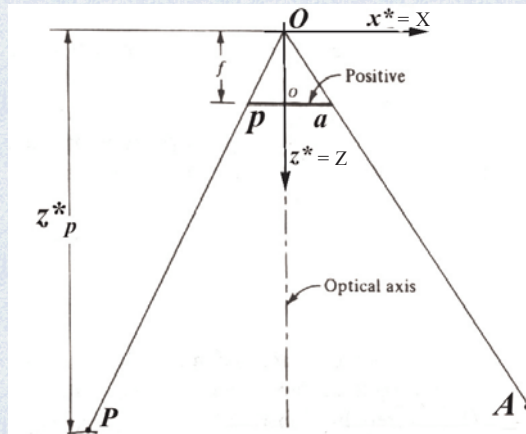
$$v_x = \frac{-fXV_Z}{Z^2} \quad v_y = \frac{-fYV_Z}{Z^2}$$

$$dZ = \frac{V_Z}{f^2 X^2 V_Z^2} dv_x = \frac{Z^4}{f^2 X^2 V_Z} dv_x =$$

$$\frac{Z^4}{f^2 X^2 V_Z} dv_x = \frac{Z^2}{x^2 V_Z} dv_x$$

•Altre coordinate:

$$X = \frac{x}{f} Z$$



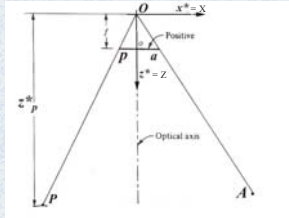


## Accelerazioni nel campo di moto

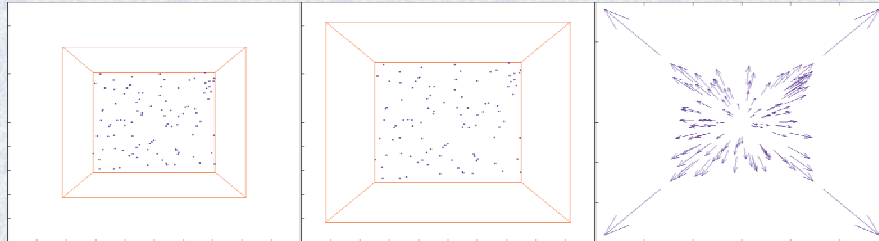


$$\mathbf{v}_p = f\left(\frac{\mathbf{V}_p}{Z} - \frac{\mathbf{P} V_z}{Z^2}\right)$$

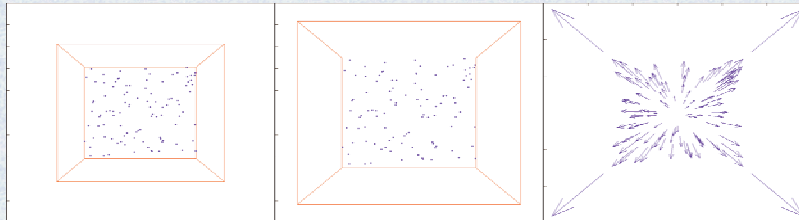
E' costante il campo di moto ( $\mathbf{v}(p)$ )  
se  $\mathbf{V}(\mathbf{P}) = \text{costante}$ ?



$$\mathbf{a}_p = f\left(\left(\frac{d\mathbf{V}_p}{dt} - \frac{\mathbf{V}_p}{Z^2} \frac{dZ}{dt}\right) - \left(\frac{d\mathbf{P}}{dt} \frac{V_z}{Z^2} + \frac{\mathbf{P}}{Z^2} \frac{dV_z}{dt} - \frac{\mathbf{P} V_z}{Z^3} \frac{dZ}{dt}\right)\right)$$



## Accelerazioni nel campo di moto



Supponiamo  $\mathbf{V}_p = [0 \ 0 \ V_z] = \text{costante}$ . E' costante il campo di moto?

$$\mathbf{a}_p = f\left(\left(\frac{d\mathbf{V}_p}{dt} - \frac{\mathbf{V}_p}{Z^2} \frac{dZ}{dt}\right) - \left(\frac{d\mathbf{P}}{dt} \frac{V_z}{Z^2} + \frac{\mathbf{P}}{Z^2} \frac{dV_z}{dt} - \frac{\mathbf{P} V_z}{Z^3} \frac{dZ}{dt}\right)\right) =$$

$$f\left[\frac{xV_z^2}{Z^3} \frac{yV_z^2}{Z^3} \frac{zV_z^2}{Z^3} - \frac{zV_z^2}{Z^3}\right] = f\left[\frac{xV_z^2}{Z^2} \frac{yV_z^2}{Z^2} 0\right]$$

**Quali movimenti possiamo calcolare?**

The figure consists of four square plots arranged in a 2x2 grid. The top row is labeled 'No' and the bottom row is labeled 'Si'.  
 - Top-left: A plot showing a central point with many straight lines radiating outwards in all directions.  
 - Top-right: A plot showing a central point with many straight lines radiating outwards. A ring of small blue dots is drawn around the center, with one dot on each radiating line.  
 - Bottom-left: A plot showing several concentric circles centered at the same point.  
 - Bottom-right: A plot showing a central point with many straight lines radiating outwards. Small blue dots are placed at regular intervals along each radiating line.

By N.A. Borghese Università di Milano 19/03/2003 <http://homes.dsi.unimi.it/~borghese> 21/37

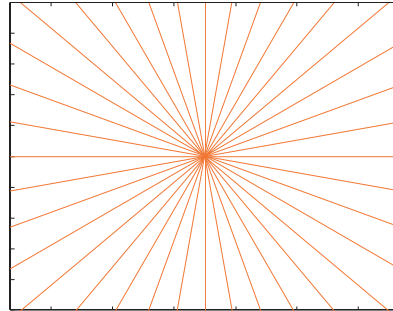
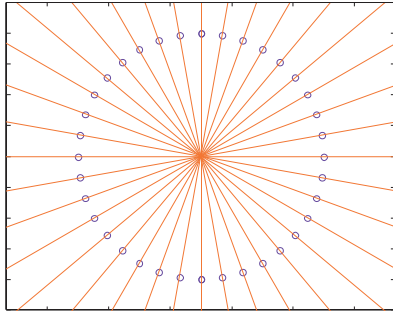
**Quali movimenti possiamo calcolare?**

The figure consists of four square plots arranged in a 2x2 grid. The top row is labeled 'No' and the bottom row is labeled 'Si'.  
 - Top-left: A plot showing a central point with many straight lines radiating outwards in all directions.  
 - Top-right: A plot showing two concentric rings of small blue dots, one larger than the other, both centered at the same point.  
 - Bottom-left: A plot showing several concentric circles centered at the same point.  
 - Bottom-right: A plot showing two concentric circles centered at the same point. Small blue dots are placed at regular intervals along the circumference of both the inner and outer circles.

By N.A. Borghese Università di Milano 19/03/2003 <http://homes.dsi.unimi.it/~borghese> 22/37



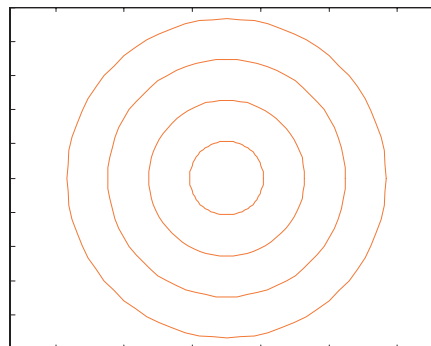
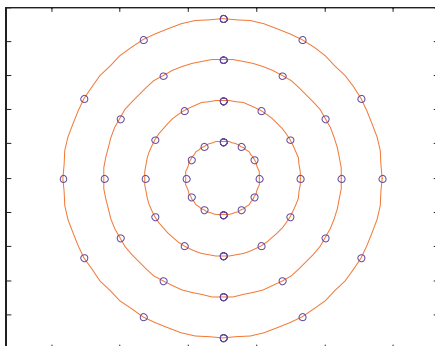
## Effetto del campo di moto



Movimento 3D indistinguibile



## Effetto del campo di moto



Movimento 3D distinguibile



## Moto traslatorio lungo l'asse, $V_x = V_y = 0$ (riassunto)



- Se  $V_z \neq 0$ , il campo di moto è radiale. Tutti i vettori puntano verso un punto,  $\mathbf{p}_c$ .
- La lunghezza dei vettori spostamento è inversamente proporzionale alla distanza dal piano immagine,  $Z$  e direttamente proporzionale a  $V_z$
- La risoluzione della profondità varia linearmente con la distanza.
- A velocità 3D costante, non corrisponde una velocità apparente costante.
- $\mathbf{p}_c$  è il punto di fuga della direzione di traslazione.
- $V_z/Z$  è il "time to contact".
- Per disambiguarli occorre una misura metrica.
- Si possono poi determinare  $X, Y$  dalle equazioni proiettive.

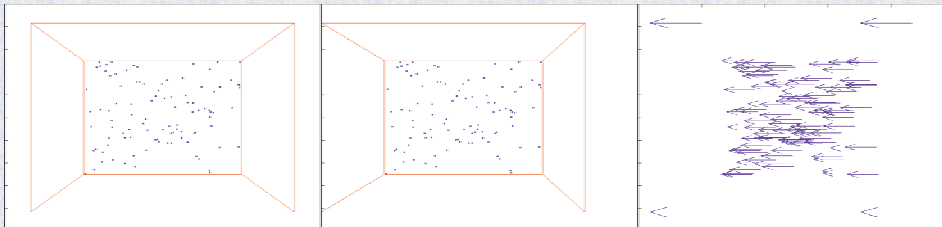


## Moto traslatorio perpendicolare all'asse ottico ( $Z = \text{cost}$ , $V_z = 0$ )



$$\bullet v_x = \frac{V_x f - x V_z}{Z} = \frac{V_x f}{Z} \quad v_z = 0$$

$$\bullet v_y = \frac{V_y f - y V_z}{Z} = \frac{V_y f}{Z}$$



• Vettori di moto paralleli

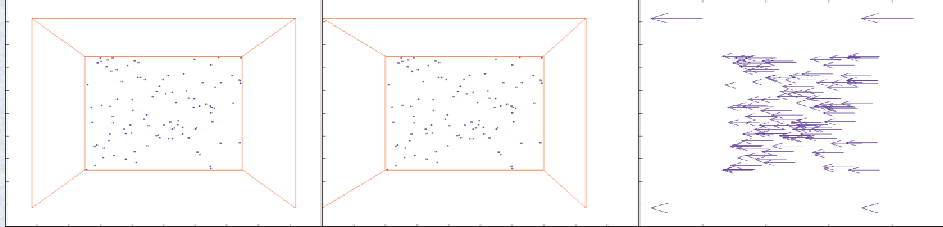
Punto di fuga: all'infinito.



## Structure from Moto traslatorio ( $V_z = 0$ )



$$\bullet v_x = \frac{V_x f - xV_z}{Z} = \frac{V_x f}{Z} \quad \bullet v_y = \frac{V_y f - yV_z}{Z} = \frac{V_y f}{Z} \quad \bullet v_z = 0$$



$$\bullet \frac{V_x}{Z} = \frac{v_x}{f} \quad \bullet \frac{V_y}{Z} = \frac{v_y}{f} \quad \bullet \text{Fisso la distanza di un punto, } Z_{\text{ref}}$$

• Dalle equazioni proiettive:

$$X = \frac{x}{f} Z.$$

$$Y = \frac{y}{f} Z.$$

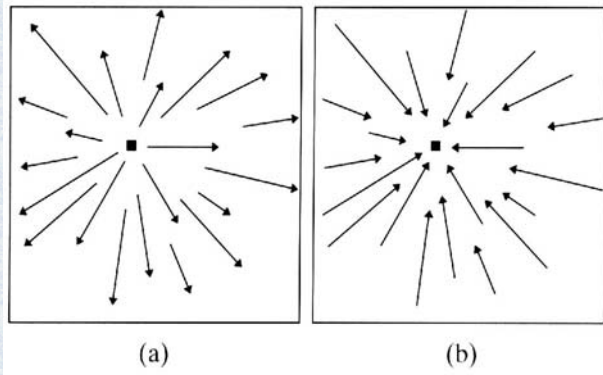


## Moto traslatorio generico ( $V_z \neq 0$ )



$$v_x = \frac{V_x f - xV_z}{Z} \quad v_y = \frac{V_y f - yV_z}{Z}$$

$$v_y = \frac{V_y f - yV_z}{Z} \quad v_x = \frac{V_x f - xV_z}{Z}$$





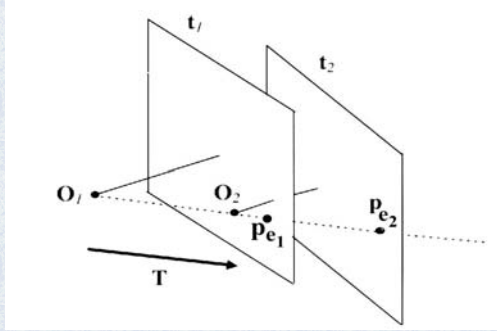
## Punto 2D che non ha moto apparente



$$\frac{V_X}{V_Z} = \frac{x}{f} \Rightarrow x_e = \frac{V_X f}{V_Z}$$

$$\frac{V_Y}{V_Z} = \frac{y}{f} \Rightarrow y_e = \frac{V_Y f}{V_Z}$$

Punto  $p(x,y)$  con velocità nulla,  $p_e$ . Quale?



Quello che “vede” sulla propria retta di proiezione entrambi i centri di proiezione.

Questa retta coincide con la direzione di traslazione.



## Punto di fuga della traslazione



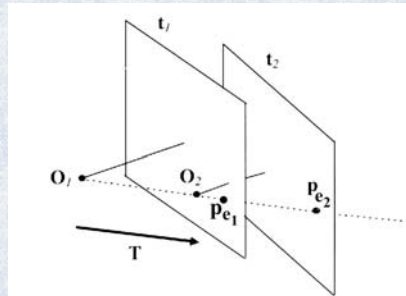
$$v_x = \frac{V_X f - x V_Z}{Z}$$

$$v_y = \frac{V_Y f - y V_Z}{Z}$$

Punto con velocità nulla,  $p_e$ :

$$x_e = \frac{V_X f}{V_Z}$$

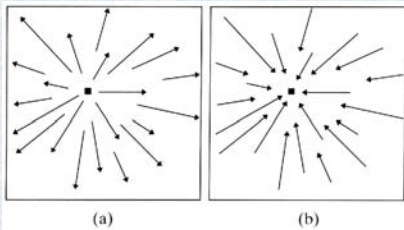
$$y_e = \frac{V_Y f}{V_Z}$$



Il campo di moto è:

$$v_x = -(x - x_e) \frac{V_Z}{Z}$$

$$v_y = -(y - y_e) \frac{V_Z}{Z}$$





## Structure from Motion (traslazione)

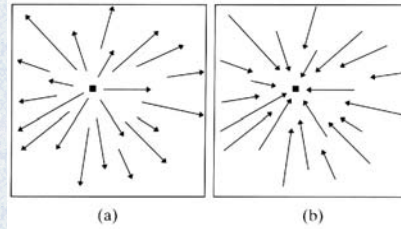


1) Determino l'epipolo  $p_e$ .

$\forall p_k(x_k, y_k)$  calcolo il vettore di moto:

$$(y - y_k) = (v_y/v_x)(x - x_k)$$

$$y = mx + q$$



• L'epipolo è il punto di intersezione di tutte le rette:

$$\{y - m_k x = q_k\} \Rightarrow p_e(x_e, y_e)$$

• Si possono pesare i diversi vettori di moto (ad esempio con  $\lambda_2$ )



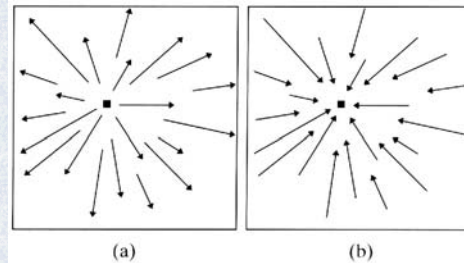
## Structure from Motion (traslazione)



2) Determino la direzione della traslazione.

$$x_e = \frac{V_x f}{V_z} \quad y_e = \frac{V_y f}{V_z}$$

$$\frac{V_x}{V_z} = \frac{x_e}{f} \quad \frac{V_y}{V_z} = \frac{y_e}{f} \quad V_z = 1$$



• Normalizzando,  $d = \sqrt{V_x^2 + V_y^2 + V_z^2} = 1$  calcolo il versore traslazione:

$$V_u = [V_x/d; V_y/d; 1/d]$$

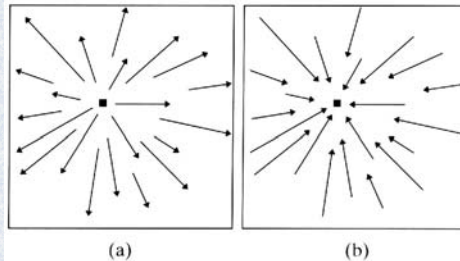


## Structure from Motion (traslazione / profondità)

3) Determino la traslazione, dato un punto.

$$\frac{V_X}{V_Z} = \frac{x_e}{f} \quad \frac{V_Y}{V_Z} = \frac{y_e}{f}$$

• Considero le equazioni del campo di moto:



$$v_x = \frac{V_X f - x V_Z}{Z} = \frac{V_X}{V_Z} f - x \frac{V_Z}{Z}$$

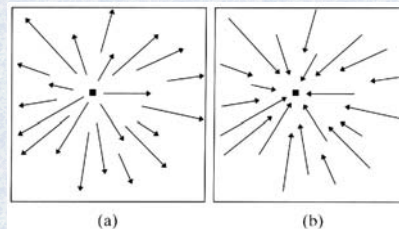
$$v_y = \frac{V_Y f - y V_Z}{Z} = \frac{V_Y}{V_Z} f - y \frac{V_Z}{Z}$$

$$\frac{V_Z}{Z} = \frac{\left( \frac{V_X}{V_Z} f - v_x \right)}{x}$$

• Ricavo  $V_Z \rightarrow$  Ricavo  $V_X, V_Y \rightarrow$  Ricavo  $X, Y, Z \forall$  punto  $P$ .

## Campo di moto traslatorio (riassunto)

- Se  $T_z \neq 0$ , il campo di moto è radiale. Tutti i vettori puntano verso un punto,  $\mathbf{p}_e$ .
- Se  $T_z = 0$ , il campo di moto è costituito da vettori paralleli.
- La lunghezza dei vettori spostamento è inversamente proporzionale alla distanza dal piano immagine,  $Z$ .
- A velocità 3D costante, non corrisponde una velocità apparente costante.
- La lunghezza dei vettori spostamento è proporzionale alla distanza di  $\mathbf{p}$  da  $\mathbf{p}_e$ .
- $\mathbf{p}_e$  è il punto di fuga della direzione di traslazione.
- $\mathbf{p}_e$  è l'intersezione del vettore traslazione passante per i due centri di proiezione ed il piano immagine.

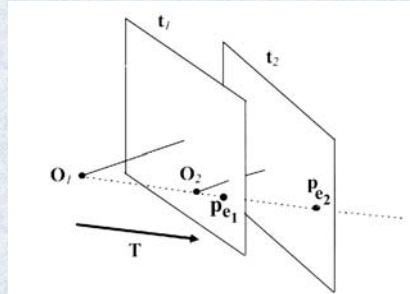




## Campo di moto traslatorio (Structure from Motion)



- Determino l'epipolo dal campo di moto.
- Determino la direzione della traslazione dalla posizione dell'epipolo (l'epipolo determina la direzione della traslazione).
- Data una misura presa sul campo, determino il vettore traslazione (il valore di  $V_z$ ).
- Lo spostamento di tutti i punti 3D è identico.
- Dalla traslazione, posso calcolare la posizione 3D di tutti i punti.
- Ciascuna di queste quantità può essere stimata in modo robusto.



## Possiamo risolvere il problema di Structure from Motion

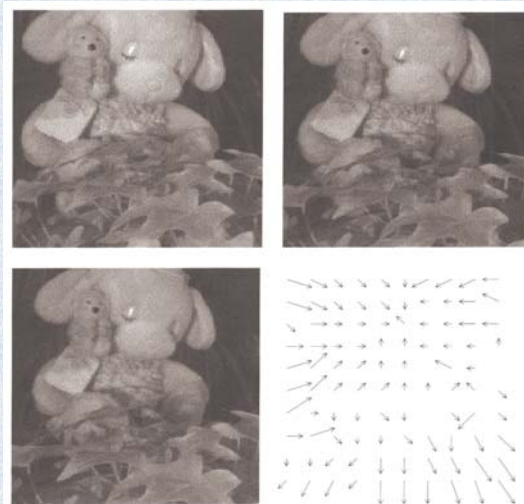


Figure 8.3 Three frames from a long image sequence (left to right and top to bottom) and the optical flow computed from the sequence, showing that the plant in the foreground is moving towards the camera, and the soft toys away from it.



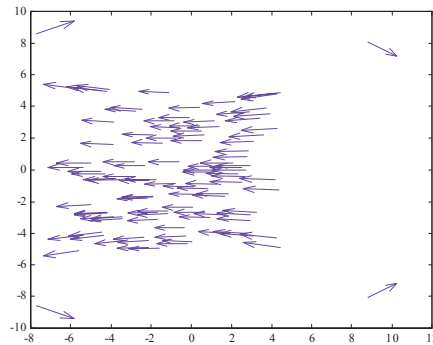
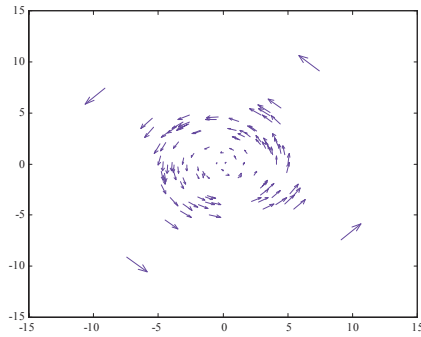
## Rotazione



$$\mathbf{v}_p = f \left( \frac{\mathbf{V}_P}{Z} - \frac{\mathbf{P}V_Z}{Z^2} \right) \quad \mathbf{V}_P = d\mathbf{P} / dt = \boldsymbol{\omega} \wedge \mathbf{P}$$

$$v_x = (\omega_y Z - \omega_z Y)(f/Z) - fX(\omega_x Y - \omega_y X)/Z^2 = f\omega_y - \omega_z y - xy\omega_x/f + \omega_y x^2/f$$
$$v_y = (-\omega_x Z + \omega_z X)(f/Z) - fY(\omega_x Y - \omega_y X)/Z^2 = -f\omega_x + \omega_z x - xy\omega_y/f + \omega_x y^2/f$$

- Non dipende da Z, non è possibile vedere la struttura con solo rotazione.



## Link interessanti



<http://profs.sci.univr.it/%7Eufusiello/teaching/visione/appunti.pdf>  
<http://www.photogrammetry.ethz.ch/>  
<http://cvlab.epfl.ch/index.html>  
<http://www.vision.cs.ucla.edu/>  
<http://www.vision.caltech.edu/html-files/overview.html>  
<http://www.ai.mit.edu/projects/cbcl/web-pis/poggio/>